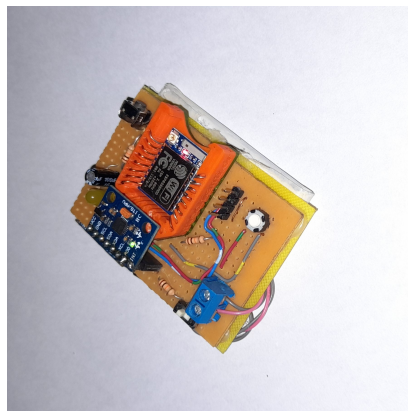


Red de nodos de adquisición de datos sismográficos.

Informe de avance - Versión 0.1



CARRERA Ingeniería Mecatrónica

SEMESTRE Segundo Semestre 2025

CÁTEDRA Proyecto Tipo C

ALUMNOS Barrios Retta Federico , 14101
Cano Francisco , 12487
Pappeti Juan Ignacio , 11807

FECHA 03 de noviembre de 2025

Contents

1	Resumen ejecutivo	3
1.1	Avances clave	3
1.2	Riesgos activos	3
1.3	Próximos hitos	3
1.4	Diagrama de bloques (visión actual)	3
2	Trazabilidad de requerimientos actuales	3
3	Problemática actual: la batería de Li-ion	4
3.1	Restricciones de diseño	4
3.2	Marco de cálculo de autonomía	4
3.3	Riesgos y mitigaciones	5
4	Diseños de placas de Desarrollo	5
4.1	Prototipo físico	5
4.1.1	Descripción general	5
4.1.2	Componentes principales	5
4.1.3	Interconexión eléctrica (alto nivel)	6
4.1.4	Funcionalidad validada en banco	6
4.1.5	Limitaciones actuales	6
4.1.6	Próximos pasos de mejora	6
4.1.7	Registro fotográfico (referencias)	6
4.2	Placa de Desarrollo v0.0.1 (THT)	7
4.2.1	Descripción General	7
4.2.2	3) Bloques y esquemas	8
4.2.3	Pinout efectivo (para trazabilidad de firmware)	9
4.2.4	Riesgos y mitigaciones (esta revisión)	9
4.2.5	Registro fotográfico (referencias)	10
4.3	Placa de Desarrollo v0.0.2 (SMD)	10
4.3.1	Placa de Desarrollo v0.0.2 (SMD)	10
4.4	Deep-sleep y “reset virtual” (ESP8266)	13
5	Base de datos MySQL	14
5.1	Objetivo	14
5.2	Modelo lógico	14
5.3	Tabla central	14
5.4	Ingesta (idempotente)	15
5.5	Consulta típica	15
5.6	Particionado y operación	15
6	Firmware	15
6.1	Objetivo y alcance	15
6.2	Justificación de frecuencias de muestreo	15
6.3	Temporización y ejecución	16
6.4	Calibración del MPU6050 (compensación de offset)	16
6.5	MQTT: tópicos y payload	16
6.6	Código de referencia (ESP32 FreeRTOS; crudo → bloque → MQTT)	17
6.7	Deep-sleep y “reset virtual”	19
7	Cronograma y plan de la siguiente iteración	19

8 Solicitudes al comité/directores (bloqueadores)	19
9 Bibliografía y Referencias	19

1 Resumen ejecutivo

Alcance acordado: red de nodos sismográficos IoT con adquisición triaxial, backend MQTT+MySQL, dashboard.

1.1 Avances clave

- Diseño de placa de desarrollo v0.0.1 (THT) y v0.0.2 (SMD).
- Prototipo físico para dimensionamiento de dimensiones.
- Base de datos MySQL operativa.
- Análisis de energía y batería, con dificultades detectadas.
- Prototipo de firmware con timers/ISR para muestreo periódico (FreeRTOS).

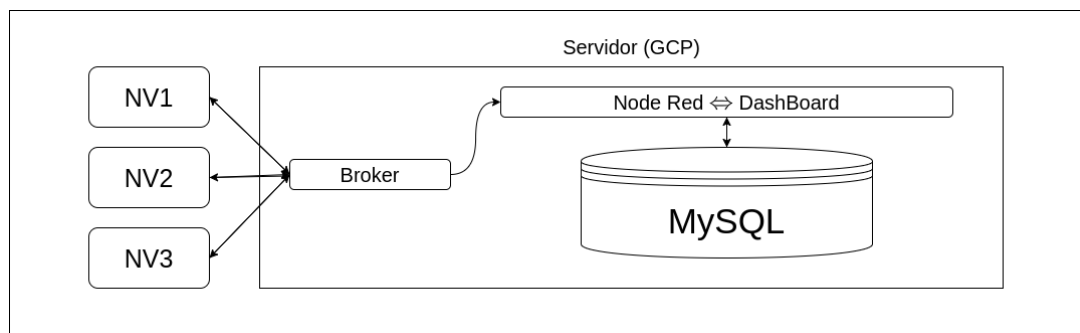
1.2 Riesgos activos

- Autonomía *real vs objetivo*
- Deep sleep con reset
- Tensión de la pila de Li-ion difiere con V_{cc} de alimentación del microcontrolador
- Reconexión robusta tras sleep.

1.3 Próximos hitos

- Validación energética en banco
- Prototipo físico de la placa de desarrollo v0.0.2 (SMD)
- Inserción bulk y particionado en DB.

1.4 Diagrama de bloques (visión actual)



2 Trazabilidad de requerimientos actuales

Tabla simple: **Requerimientos clave** → **Artefactos** → **Pruebas** → **Resultado**

Req	Artefacto	Prueba	Estado
Muestreo estable (100–200 Hz)	FW timers/ISR	Jitter < 1% en 30 min	En curso
Persistencia	Esquema MySQL	Inserciones 1k msg/min 10 min	OK/Parcial
Autonomía mínima N horas	Modelo energía	Medición I y duty cycle	En riesgo

Req	Artefacto	Prueba	Estado
Reconexión tras deep sleep	FW estados	Publicación QoS1 en ≤ 3 s	Pendiente

3 Problemática actual: la batería de Li-ion

La red de nodos requiere **autonomía eléctrica** para operar sin red fija. La fuente elegida es una celda Li-ion de forma compacto ($\leq 50 \times 50$ mm, espesor < 7.5 mm). El ESP8266 opera entre **2.5–3.6 V** y presenta cuatro modos de potencia (activo, modem-sleep, light-sleep y deep-sleep). Según el [datasheet del ESP8266EX](#), el consumo típico es: deep – sleep $\approx 20\mu\text{A}$, light – sleep $\approx 0.9\text{mA}$, modem – sleep $\approx 15\text{mA}$, y en activo con radio el promedio ronda **decenas de mA** con picos de **$>100\text{mA}$** en TX/RX (ver Tabla 3-4 “Power Consumption by Power Modes” y Tabla 1-1 “Specifications”).

El consumo del módulo MPU6050 se debe suponer hasta realizarse mediciones. **Supuesto:** la IMU MPU6050 añade $\approx 3\text{–}4\text{mA}$ en adquisición continua y $< 10\mu\text{A}$ en modo low-power accel. Estos valores se validarán en banco.

Implicancia: la autonomía no la determina el consumo de $20\mu\text{A}$ en deep-sleep, sino el **duty cycle real** entre medir, transmitir y dormir. Además, el **rango de tensión de la celda Li-ion** ($\approx 4.2 \rightarrow 3.0\text{V}$) no es directamente compatible con la ventana $2.5\text{–}3.6\text{V}$ del ESP8266 si no se condiciona la tensión.

3.1 Restricciones de diseño

1. Tensión

- Batería Li-ion: 4.2 V (cargada) a ~ 3.0 V (descargada).
- ESP8266: 2.5–3.6 V.
- **Conclusión:** se requiere regulación.
 - Un **diodo en serie** ($\approx 0.7\text{V}$) reduce $4.2 \rightarrow 3.5\text{V}$, pero **colapsa** a $\sim 2.3\text{V}$ cuando la celda cae a 3.0 V, **bajo el mínimo** del ESP8266. No es solución de producción.
 - Un **LDO** a 3.3 V desaprovecha la cola de la batería (cuando $V_{in} < 3.3\text{V}$ entra en dropout).
 - Un **buck** a 3.3 V es eficiente por arriba de 3.3 V, pero **no regula** cuando $V_{in} < 3.3\text{V}$.

2. Ciclo de operación Definimos un ciclo con tres estados:

- **Activo (adquisición + TX):** ESP8266 activo con radio, IMU activa.
- **Idle/light-sleep:** CPU o periféricos pausados, radio apagado.
- **Deep-sleep:** solo RTC operativo; en ESP8266 el **wake implica reset** del MCU.

3. Recuperación post-sleep El deep-sleep reinicia el ESP8266: se debe **reconstruir estado** (NTP, MQTT, seq, reconfiguración IMU) de forma **idempotente**.

3.2 Marco de cálculo de autonomía

Para un ciclo de duración $T = t_a + t_l + t_d$ con corrientes I_a, I_l, I_d :

Considerando:

- T : duración total de un ciclo.

- t_a : tiempo en **estado activo** (adquisición + TX/RX).
- t_l : tiempo en **light-sleep** (CPU/periféricos en pausa, radio apagada).
- t_d : tiempo en **deep-sleep** (solo RTC activo).
- I_a : **corriente media** en estado activo.
- I_l : **corriente media** en light-sleep.
- I_d : **corriente media** en deep-sleep.

$$I_{\text{prom}} = \frac{I_a t_a + I_l t_l + I_d t_d}{T} \Rightarrow \text{Autonomía (h)} \approx \frac{C_{\text{mAh}} \cdot \eta}{I_{\text{prom}}}$$

- **Capacidad efectiva** C_{mAh} : nominal \times **factor de eficiencia** $\eta \in [0.8, 0.9]$ para pérdidas de regulador y temperatura.
- **Supuestos iniciales** (a validar): $I_a = 120 \text{ mA}$ promedio durante TX y lectura, $I_l = 0.9 \text{ mA}$, $I_d = 20 \mu\text{A}$. IMU activa suma $\sim 4 \text{ mA}$ en I_a y $\sim 10 \mu\text{A}$ en bajo consumo.

Ejemplo de orden de magnitud (no compromiso de diseño): Si $t_a = 2 \text{ s}$, $t_l = 8 \text{ s}$, $t_d = 50 \text{ s}$ por ciclo de 60 s , entonces $I_{\text{prom}} \approx \frac{(124)(2) + (0.9)(8) + (0.02)(50)}{60} \approx 4.5 \text{ mA}$. Con una celda **2000 mAh** y $\eta = 0.85 \rightarrow \approx 377 \text{ h}$ teóricas. Pequeños cambios en t_a o I_a derrumban la cifra, de ahí la necesidad de medir.

3.3 Riesgos y mitigaciones

Riesgo	Efecto	Mitigación
Picos de TX > 200 mA	Reset brown-out	Capacitores cerca del SoC y del regulador, ruta de GND corta
Dropout en LDO	Apagado prematuro	Buck-boost o cutoff a Vbat que garantice 3.3 V estable
Overhead de reconexión Wi-Fi	Aumenta t_a	Persistir credenciales, aumentar DTIM, batch de publicaciones
Deriva de consumo IMU	Baja autonomía	Cambiar a modo low-power accel entre eventos

4 Diseños de placas de Desarrollo

4.1 Prototipo físico

4.1.1 Descripción general

Módulo de adquisición autónomo montado en placa perforada (protoboard FR-4) con **batería Li-ion plana** como sustrato mecánico. El conjunto integra **ESP8266 (ESP-01)**, **IMU MPU6050 (GY-521)**, **cargador/protección de batería Li-ion**, y **módulo DC-DC** para acondicionamiento de tensión. Se incorporan **interruptor**, **pulsador de reset/usuario**, **LED de estado** y **test-pads** para depuración.

4.1.2 Componentes principales

Conjunto	Función	Observaciones de montaje
ESP8266 ESP-01 con soporte impreso	MCU + Wi-Fi	Soporte 3D para alivio de tensión del conector; disipador pasivo pequeño.

Conjunto	Función	Observaciones de montaje
MPU6050 (GY-521)	Acelerómetro/giroscopio	Montado en el plano superior; acceso a SDA/SCL en header.
Cargador/protector Li-ion	Carga 5 V y protección de celda	Entrada micro-USB; ubicado en cara inferior junto a la batería.
DC-DC (ajustable)	Regulación a 3.3 V	Módulo comercial; ajuste en 3.30 ± 0.03 V.
Batería Li-ion tipo "flat"	Fuente	Fijación con cinta Kapton; cableado con alivio térmico.
Diodo serie (temporal)	Caída de ~ 0.7 V	Solución transitoria para compatibilidad de tensión.
Interfaz	Interruptor, pulsador, LED	Acceso lateral; útiles para pruebas de banco.

4.1.3 Interconexión eléctrica (alto nivel)

- **Batería** → cargador/protección → DC-DC 3.3 V → rail lógica (ESP8266 + IMU).
- **GPIO/UA**: SDA/SCL expuestos; UART accesible para programación.

4.1.4 Funcionalidad validada en banco

- Encendido estable a 3.3 V regulados.
- Lectura de IMU.
- Carga de batería por micro-USB y operación en modo "cableado".

4.1.5 Limitaciones actuales

- **Regulación**: uso de diodo de caída como solución temporal; riesgo de subalimentación cuando $V_{bat} < 3.3 \text{ V} + V_{drop}$.
- **Mecánica**: apilado con adhesivo caliente; se requiere placa SMD y separadores para rigidez y repetibilidad.
- **Medición de consumo**: sin shunt/INA dedicado; no hay perfil de corrientes por estado.
- **Protección**: sin TVS ni fusible rearmable en entrada; headers sin retención.

4.1.6 Próximos pasos de mejora

1. Migrar a **PCB v0.0.2 SMD** con plano GND continuo bajo IMU y "via-stitching".
2. Incorporar **montajes mecánicos**: tornillería M2.5, separadores, y casquillos para desacoplar vibraciones.
3. Añadir **protecciones**: TVS en entrada USB, PTC 500 mA, y filtro LC en rail 3.3 V.

4.1.7 Registro fotográfico (referencias)

- **Vista superior**: ubicación de ESP-01, GY-521, LED y controles.
- **Vista inferior**: batería y cargador/protección con cableado.
- **Vista lateral**: apilado de módulos, disipador en ESP-01, accesos a headers.
- **Vista isométrica**: vista general de la disposición del prototipo.



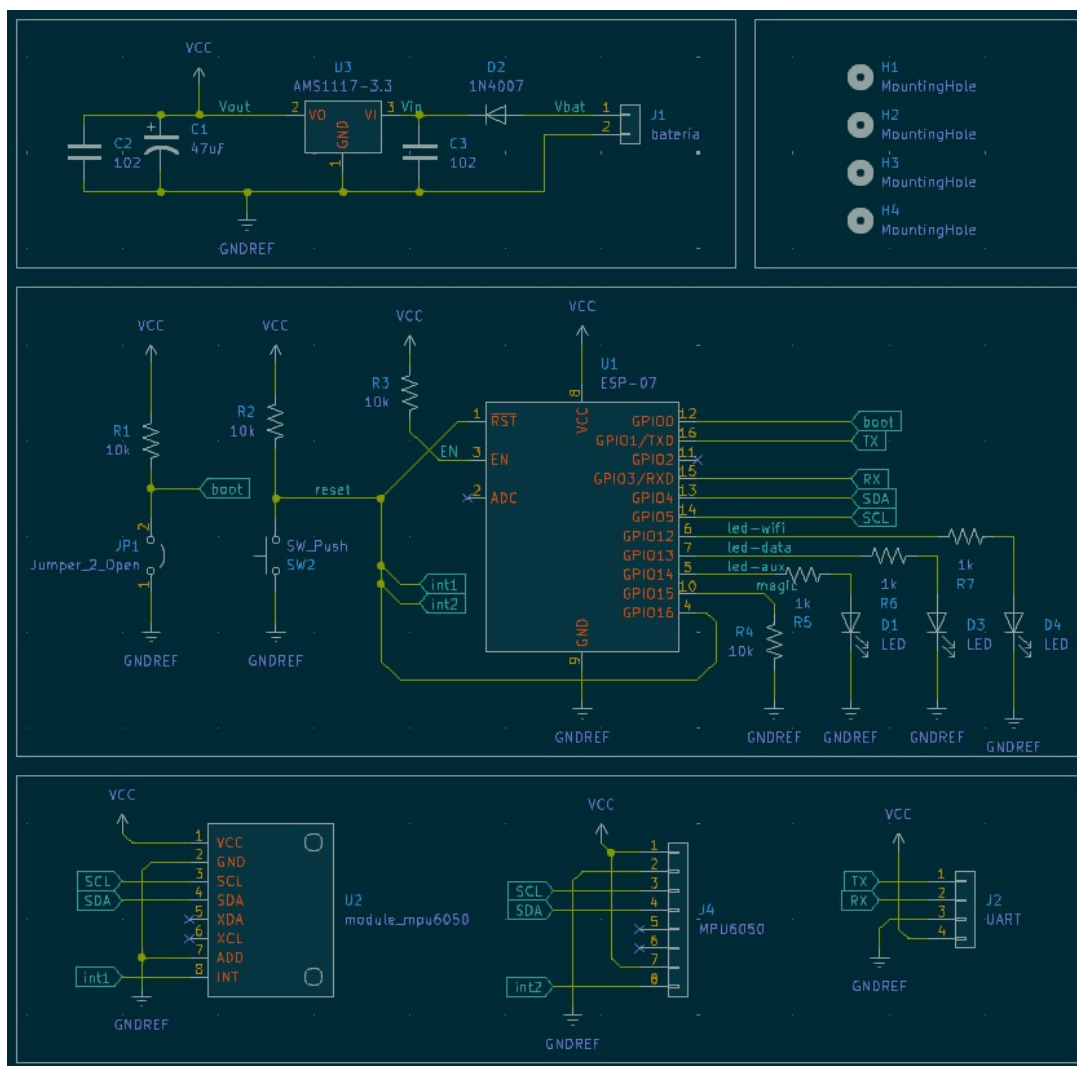
4.2 Placa de Desarrollo v0.0.1 (THT)

4.2.1 Descripción General

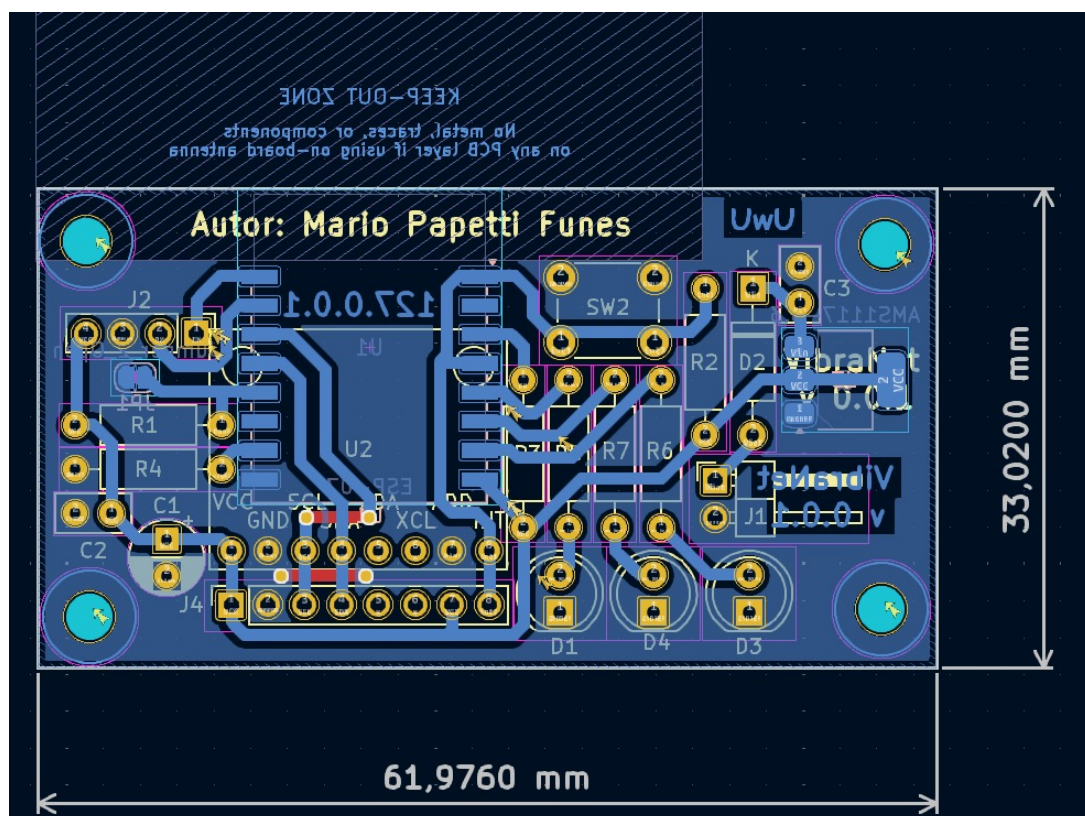
Se diseñó una primera revisión orientada a verificación funcional. La alimentación se resolvió con batería Li-ion, diodo serie y LDO AMS1117-3.3, suficiente para banco pero limitada en eficiencia y margen de caída. La lógica de arranque incluye pulsadores de BOOT y RESET con EN por pull-up. La IMU MPU6050 se conecta por I2C y expone INT al MCU. Se dispone de señalización mediante cuatro LEDs y de headers para UART y MPU6050.

- **Formato:** 61.98 × 33.02 mm, 4 orificios de montaje.
- **Topología:** batería Li-ion → diodo serie → **LDO AMS1117-3.3** → rail 3V3 para **ESP-07** y **GY-521**.
- **Señalización:** cuatro LEDs (Wi-Fi, datos, aux1, aux2) con resistencias limitadoras.
- **Control:** pulsadores de **BOOT** y **RESET**; EN con pull-up (R3).
- **Interfaz:** header **UART** para programación y header **I2C/INT** para IMU.
- **Conectividad IMU:** SCL/SDA, INT y ADO cableados al conector J4 (módulo MPU6050).

4.2.2 3) Bloques y esquemas



1. **Alimentación:** AMS1117-3.3 con $C1=47\ \mu\text{F}$ de bulk y cerámicos de desacople (C2, C3). Diodo 1N4007 en serie desde batería como solución transitoria para reducir Vbat.
2. **Control de arranque:**
 - BOOT con $R1=10\ \text{k}\Omega$ a GND y pulsador a VCC para forzar modo flash cuando se requiera.
 - RESET con $R2=10\ \text{k}\Omega$, pulsador a GND y EN con $R3=10\ \text{k}\Omega$ a VCC.
3. **MCU + IO:** ESP-07 con GPIOs mapeados a UART, I2C y LEDs (R4-R7).



Ruteo de una cara con puentes; headers dedicados para **UART** y **MPU6050**. Se señalan keep-out y leyendas (autor, versión).

4.2.3 Pinout efectivo (para trazabilidad de firmware)

Función	Pin ESP8266	Conector	Nota
UART TX	GPIO1/TXD0	J2-TX	Programación/registro
UART RX	GPIO3/RXD0	J2-RX	Programación/registro
I2C SCL	GPIO5	J4-SCL	Pull-ups en módulo GY-521
I2C SDA	GPIO4	J4-SDA	—
IMU INT	GPIO14 (int1)	J4-INT	Interrupciones de movimiento
LED Wi-Fi	GPIO12	D1 + R4	Estado radio
LED Datos	GPIO13	D2 + R5	Publicación/actividad
LED Aux 1	GPIO15	D3 + R6	Uso general
LED Aux 2	GPIO16	D4 + R7	Uso general
EN (chip-enable)	EN	—	Pull-up R3=10 kΩ
RESET	RST	SW2	Pulsador a GND
BOOT	GPIO0	SW1/JP1	Forzar modo programación

4.2.4 Riesgos y mitigaciones (esta revisión)

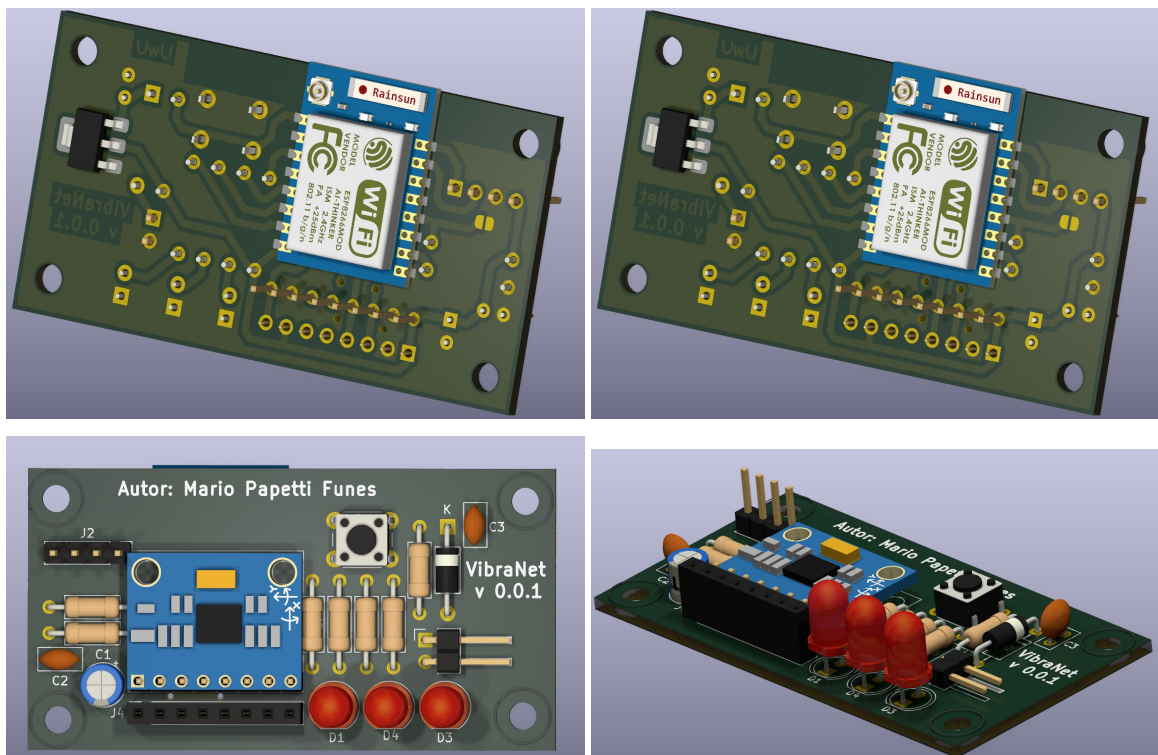
Riesgo	Impacto	Mitigación en v0.0.2
Dropout con LDO + diodo	Resets en TX	Buck-boost, cutoff Vbat
Falta de desacople correcto	Ruido en IMU/MCU	100 nF locales + 10 μF; trazas cortas

Riesgo	Impacto	Mitigación en v0.0.2
Sin medición de corriente Protección insuficiente	Autonomía incierta Sensibilidad a ESD/fallos	Shunt/INA + pads Kelvin TVS, PTC, clearances y serigrafía

Con esto capitalizás las imágenes: el lector ve el esquema, entiende las rutas críticas, tiene tabla de pines para firmware y una lista clara de mejoras hacia v0.0.2.

4.2.5 Registro fotográfico (referencias)

- **Vista superior:** ubicación de ESP-01, GY-521, LED y controles.
- **Vista inferior:** batería y cargador/protección con cableado.
- **Vista lateral:** apilado de módulos, disipador en ESP-01, accesos a headers.
- **Vista isométrica:** vista general de la disposición del prototipo.



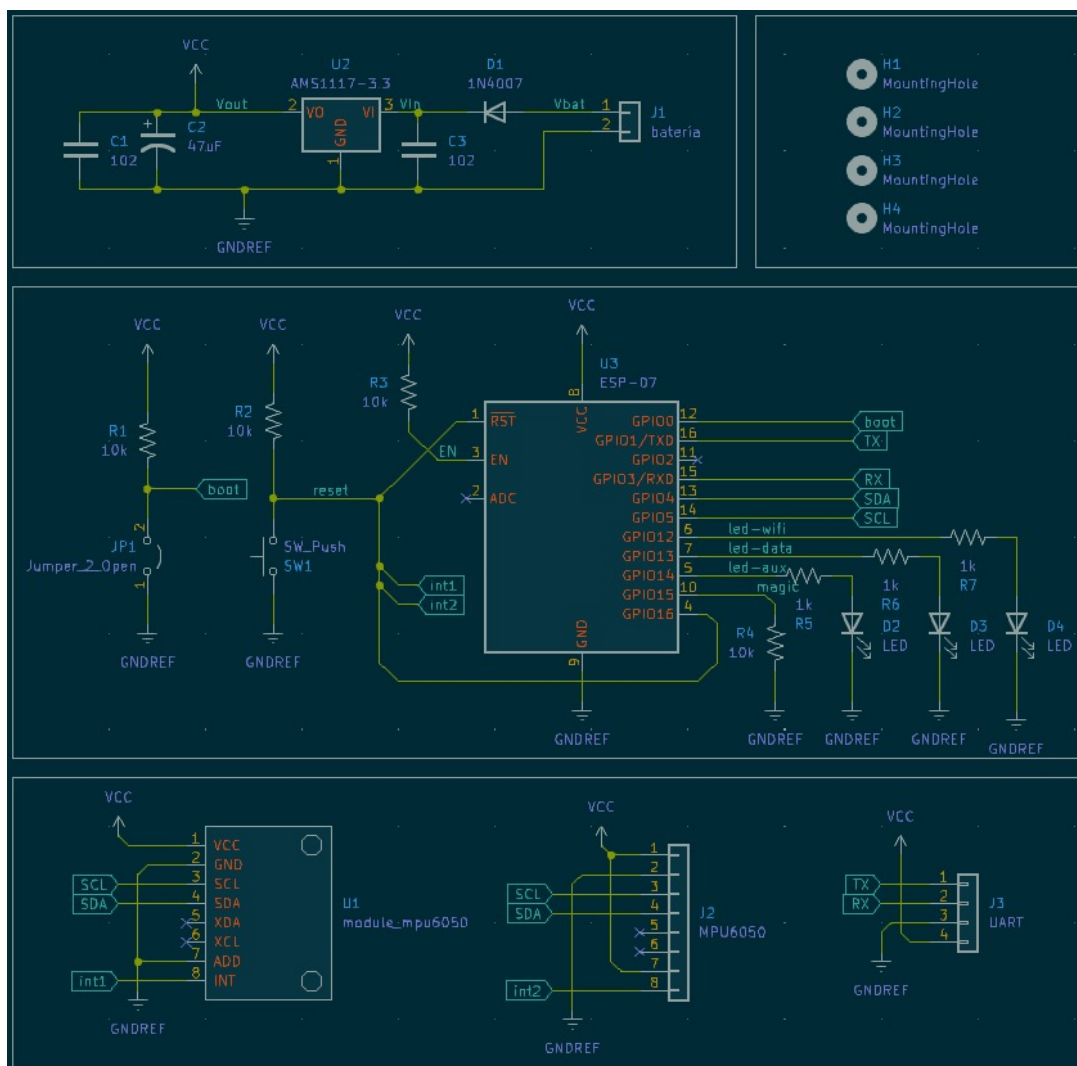
4.3 Placa de Desarrollo v0.0.2 (SMD)

4.3.1 Placa de Desarrollo v0.0.2 (SMD)

Descripción general Revisión orientada a **compactar** el diseño y mejorar **DFM/EMI** manteniendo la funcionalidad de la v0.0.1. Se migra a **SMD** con plano de masa continuo, keep-out para antena y headers accesibles para IMU y UART. La alimentación continúa con **LDO AMS1117-3.3 + diodo serie** como solución de banco, en espera de migrar a **buck-boost 3.3 V** en la siguiente iteración.

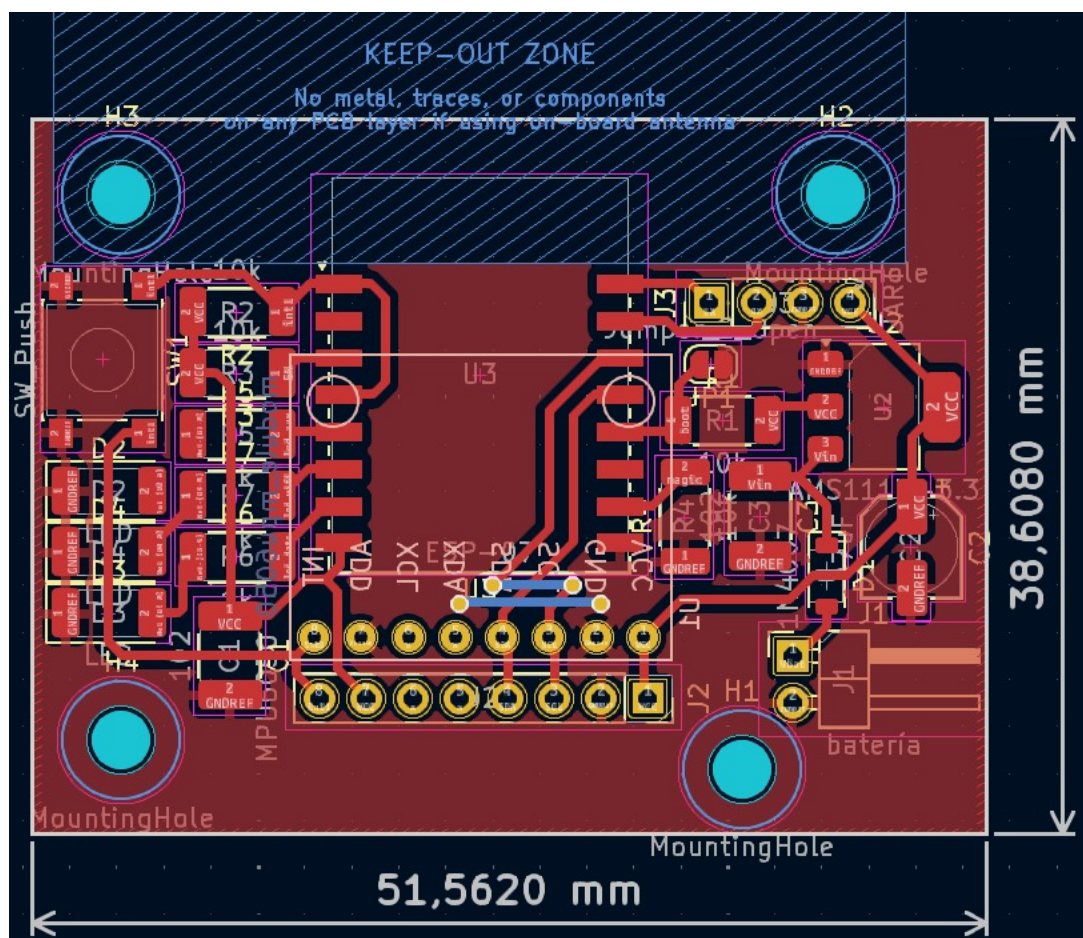
- **Formato:** 51.56 × 38.61 mm, 4 orificios de montaje.
- **Topología:** batería Li-ion → diodo serie → **LDO AMS1117-3.3** → rail 3V3 para **ESP-12** y conector **MPU6050**.

- **Keep-out RF:** zona superior libre de cobre y componentes sobre la antena integrada (serigrafía "KEEP-OUT ZONE").
- **Control:** pulsador **RESET**, pad para **BOOT/FLASH** y **EN** con pull-up.
- **Interfaz:** header **UART** de programación y header **I2C/INT** para la IMU.
- **Señalización:** tres LEDs SMD para estado (Wi-Fi/datos/aux).



Bloques y esquemas

1. **Alimentación:** AMS1117-3.3 con C3 bulk y cerámicos de desacople cercanos; diodo 1N4007 serie desde batería como atajo temporal para ajustar V_{bat}.
2. **RF/MCU:** ESP-12 (ESP8266MOD) con antena integrada Rainsun y keep-out superior; GPIO mapeados a UART, I2C y LEDs.
3. **Control de arranque:** EN con pull-up, RESET por pulsador; pads para GPIO0 (modo flash).
4. **IMU:** conector para MPU6050 con SCL/SDA y INT.

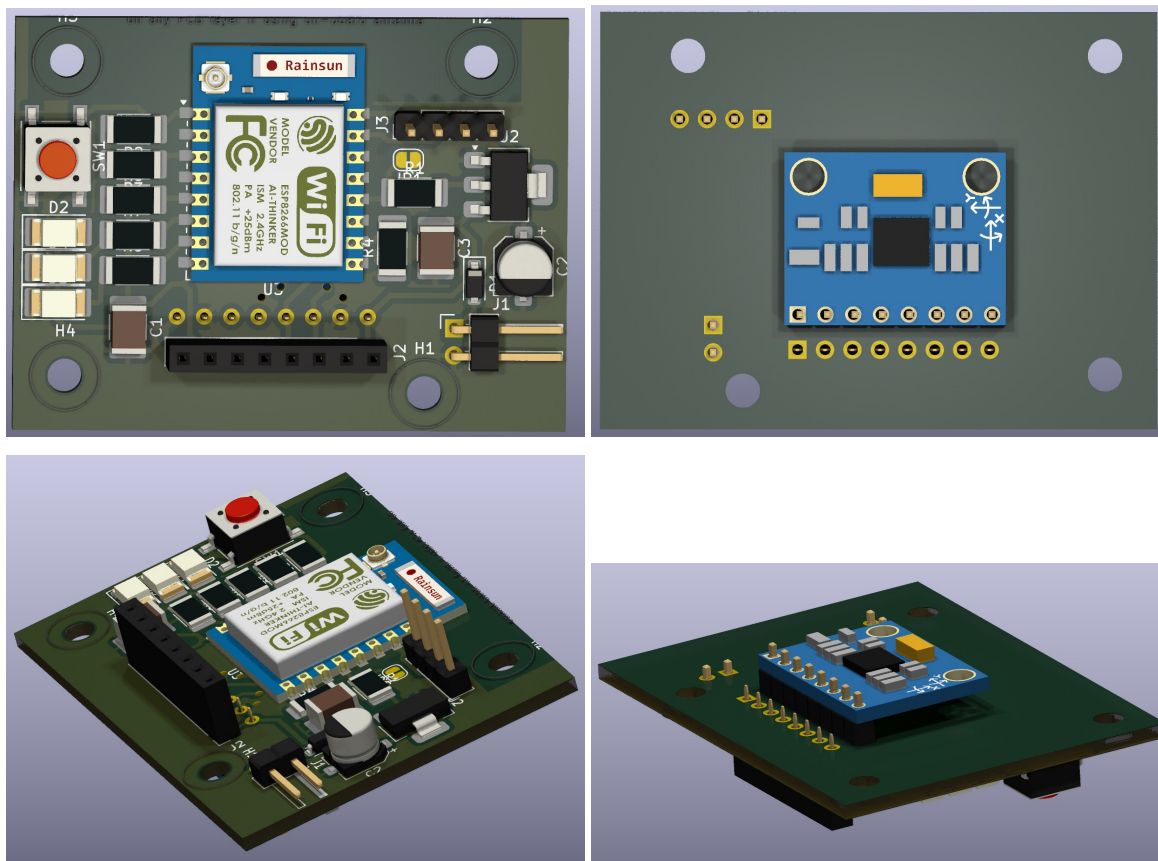


Ruteo con **plano GND** en top y vía-stitching perimetral; colocación SMD en bancos compactos para LEDs y RC de control; headers verticales para IMU/UART; keep-out RF claramente marcado.

Pinout efectivo (para trazabilidad de firmware)

Función	Pin ESP8266	Conector	Nota
UART TX	GPIO1/TXD0	J3-TX	Programación/registro
UART RX	GPIO3/RXD0	J3-RX	Programación/registro
I2C SCL	GPIO5	J2-SCL	Pull-ups en módulo IMU
I2C SDA	GPIO4	J2-SDA	—
IMU INT	GPIO14	J2-INT	Interrupciones de movimiento
LED Wi-Fi	GPIO12	D? + R?	Estado radio
LED Datos	GPIO13	D? + R?	Publicación/actividad
LED Aux	GPIO16	D? + R?	Uso general
EN (chip-enable)	EN	—	Pull-up
RESET	RST	SW1	Pulsador a GND
BOOT/FLASH	GPIO0	Pad/JP	Forzar modo programación

Registro render/fotográfico



4.4 Deep-sleep y “reset virtual” (ESP8266)

Es un **hecho técnico** que en el microcontrolador ESP8266 el modo **deep-sleep** no “despierta” el programa donde quedó: **reinicia** el chip. El despertar se logra con la unión **GPIO16 (D0)** → **RST**; al vencer el temporizador interno, **GPIO16 impulsa RST** y se produce un **reset por hardware** equivalente a un “software/virtual reset”.

Implicancias de diseño

- **Re-hidratación de estado:** al iniciar, el firmware debe reconstruir NTP, MQTT, configuración de IMU y contadores (seq) de forma **idempotente**.
- **Persistencia mínima:** guardar en RTC/flash ligera: seq, último ts, flags de “shutdown limpio”.
- **Tiempos de servicio:** medir y reportar `t_wake --> wifi --> publish (p95)`; los costos de asociación Wi-Fi dominan el consumo si el ciclo de sueño es corto.
- **Señalización y LWT:** publicar `status=boot/deepsleep_wakeup` y configurar **LWT** para recuperación en backend.

Requisito eléctrico

- Trazar **GPIO16** → **RST** con retorno GND corto y mantener **pull-ups** de RST/EN según datasheet. No conectar GPIO16 a otros periféricos.

Prueba mínima

1. Programar `deepSleep(us)`, verificar pulso en RST desde GPIO16.
2. Comprobar re-inicio completo y publicación de status en ≤ 3 s tras el reset.

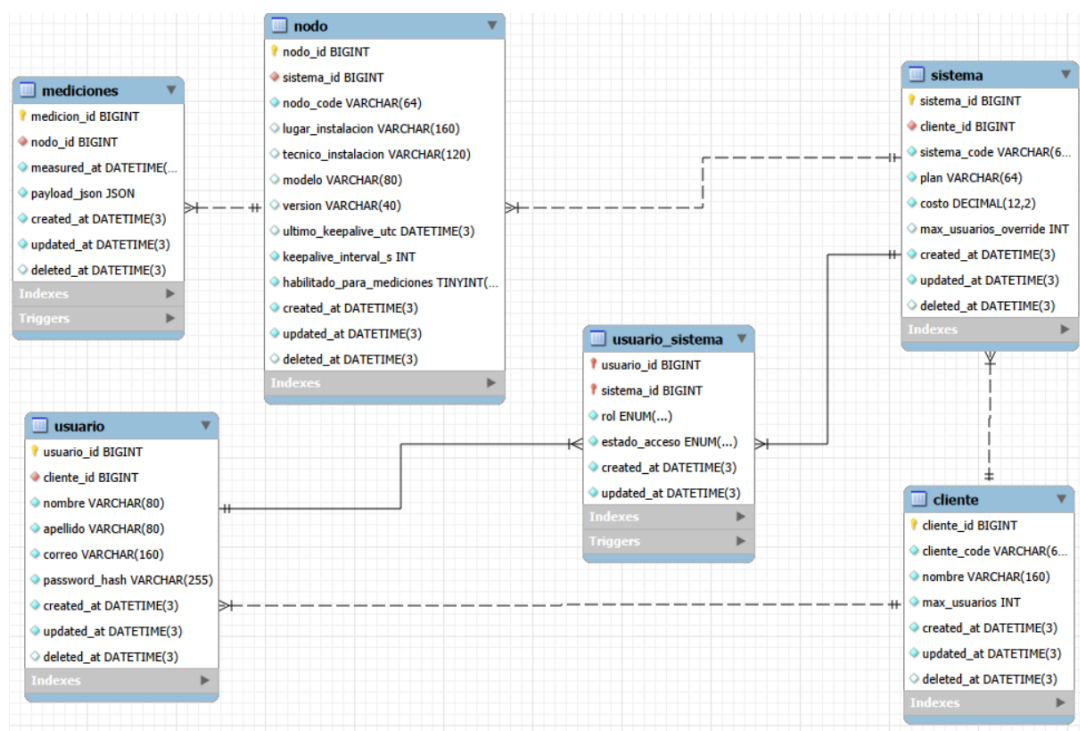
5 Base de datos MySQL

5.1 Objetivo

Almacenar mediciones por nodo con trazabilidad mínima y consultas rápidas por ventana temporal, usando UTC con milisegundos. El diagrama proporcionado es la referencia del modelo: cliente posee sistemas; cada sistema agrupa nodos; cada nodo genera mediciones; los usuarios acceden por rol mediante una tabla de relación.

5.2 Modelo lógico

Tablas de administración: cliente, sistema, usuario, usuario_sistema. Tablas operativas: nodo (metadatos, keep-alive, habilitación) y mediciones (serie temporal). Identificadores BIG-INT autoincrementales y campos created_at, updated_at, deleted_at en DATETIME(3) para auditoría y soft-delete. Códigos legibles (*_code) únicos para direccionamiento desde flujos y UI.



5.3 Tabla central

mediciones guarda el instante de captura y el payload crudo en JSON, más columnas generadas para filtrar por secuencia, frecuencia de muestreo y tensión de batería. Se impone unicidad por (nodo_id, measured_at, seq) para lograr ingesta idempotente y evitar duplicados ante reintentos.

```

CREATE TABLE mediciones (
  medicion_id BIGINT UNSIGNED PRIMARY KEY AUTO_INCREMENT,
  nodo_id BIGINT UNSIGNED NOT NULL,
  measured_at DATETIME(3) NOT NULL,
  payload_json JSON NOT NULL,
  seq INT GENERATED ALWAYS AS (CAST(JSON_UNQUOTE(JSON_EXTRACT(payload_json, '$.seq')) AS SIGNED)),
  fs_hz SMALLINT GENERATED ALWAYS AS (CAST(JSON_UNQUOTE(JSON_EXTRACT(payload_json, '$.fs_hz')) AS SIGNED))
);
  
```

```

vbat DECIMAL(4,2) GENERATED ALWAYS AS (CAST(JSON_UNQUOTE(JSON_EXTRACT(payload_json,'$.v
created_at DATETIME(3) NOT NULL DEFAULT CURRENT_TIMESTAMP(3),
updated_at DATETIME(3) NOT NULL DEFAULT CURRENT_TIMESTAMP(3) ON UPDATE CURRENT_TIMESTAMP
UNIQUE KEY uk_med (nodo_id, measured_at, seq),
KEY k_nodo_ts (nodo_id, measured_at),
CONSTRAINT fk_med_nodo FOREIGN KEY (nodo_id) REFERENCES nodo(nodo_id)
) ENGINE=InnoDB;

```

5.4 Ingesta (idempotente)

El flujo de Node-RED inserta usando INSERT ... ON DUPLICATE KEY UPDATE, con tres parámetros: nodo_id (identidad del dispositivo), ts_ms (marca de tiempo en milisegundos convertida a DATETIME(3) UTC) y payload_json (mensaje validado).

```

INSERT INTO mediciones (nodo_id, measured_at, payload_json)
VALUES (?nodo_id, FROM_UNIXTIME(?ts_ms/1000), ?payload_json)
ON DUPLICATE KEY UPDATE payload_json = VALUES(payload_json),
updated_at = CURRENT_TIMESTAMP(3);

```

5.5 Consulta típica

Para graficar una ventana temporal por nodo se filtra por nodo_id y rango de measured_at, aprovechando el índice k_nodo_ts.

```

SELECT measured_at, payload_json
FROM mediciones
WHERE nodo_id = ? AND measured_at BETWEEN ?ini AND ?fin
ORDER BY measured_at;

```

5.6 Particionado y operación

Se recomienda particionar mediciones por rango mensual de measured_at para mantener índices compactos y facilitar la retención de crudos (p. ej., 180 días). El acceso desde Node-RED debe ir por TLS y con privilegios mínimos; la UI solo requiere SELECT.

Roles propuestos: - ingestor (INSERT/SELECT en mediciones y SELECT en nodo) - dashboard (SELECT) - admin_db (DDL/particiones).

6 Firmware

6.1 Objetivo y alcance

Adquirir datos crudos de la MPU6050 con temporización estable y publicarlos por MQTT con marca de tiempo en milisegundos UTC. El microcontrolador **no filtra ni procesa**: solo mide y publica. Todo posprocesado (filtros, espectros, KPIs) corre en el servidor.

6.2 Justificación de frecuencias de muestreo

Las vibraciones sísmicas estructurales de interés se concentran típicamente entre 0.5 y 30 Hz. Para capturarlas sin distorsión y con margen de análisis, se adopta un **factor de sobre-muestreo** $\geq 5 \times$ respecto de la frecuencia máxima de interés:

$$F_s \geq k \cdot f_{\max} \quad \text{con } k \in [5, 10]$$

Con $f_{\max} = 30$, Hz y $k = 5$ resulta $F_s \geq 150$ Hz. Se fija $F_s = 200$ Hz por las siguientes razones:

1. deja **banda útil hasta 100 Hz** (Nyquist) para cubrir picos transitorios o impactos por encima de 30 Hz;
2. mejora la estimación de espectros y tiempos característicos al contar con más muestras por ciclo;
3. aporta **robustez a jitter** del temporizador y a pequeñas derivas del bus I2C sin perder cobertura;
4. mantiene un **coste de red razonable** cuando se publica en **bloques** (sin filtrado en el nodo), dejando todo el posprocesamiento al servidor.

Parámetros operativos asociados:

- FS_HZ = 200 define la frecuencia de adquisición en el microcontrolador.
- PUB_BLOCK_SAMPLES controla el tamaño del bloque publicado y, por ende, la **latencia** y el **ancho de banda** efectivo. Por ejemplo, PUB_BLOCK_SAMPLES = 100 implica bloques de 0.5 s a 200 Hz.

Este esquema garantiza resolución suficiente para la banda 0.5–30 Hz con margen de análisis y sin carga de cómputo en el firmware, que solo **mide y publica** datos crudos.

6.3 Temporización y ejecución

- **Temporizador periódico:** genera una interrupción cada $T = 1/F_{S_{\text{HZ}}}$ para disparar la toma de muestra.
- **ISR mínima:** coloca un “trigger” en una cola.
- **Tarea de adquisición:** toma el “trigger”, realiza **lectura burst I2C** del MPU6050, **aplica calibración** y escribe la muestra cruda en un **ring buffer**.
- **Tarea de publicación:** empaqueta **bloques de N muestras** y publica por MQTT (o los deja en cola local si no hay red).
- **Deep-sleep (ESP8266):** GPIO16 --> RST produce reset; en setup() se rehidrata NTP/MQTT/IMU y se continúa la secuencia seq.

6.4 Calibración del MPU6050 (compensación de offset)

Intención: remover sesgo de fábrica y de montaje.

- 1) Nodo inmóvil 10–20 s.
- 2) Capturar N muestras.
- 3) Calcular medias por canal. Acel: $\text{bias_a}[i] = \text{mean}(\text{acc}[i])$ ajustando Z a ± 1 g; Giro: $\text{bias_g}[i] = \text{mean}(\text{gyro}[i])$. Guardar en NVS/EEPROM junto con temp_ref. En operación: $x_{\text{corr}} = x_{\text{raw}} - \text{bias} - k_{\text{temp}} \cdot (\text{temp} - \text{temp_ref})$ si se calibra térmicamente. **Criterio de aceptación interno:** $\text{var}(\text{acc}) < 0.01$ g.

6.5 MQTT: tópicos y payload

- Tópicos:
 - sismo/<site>/<nodeId>/data (QoS1, no retenido)
 - sismo/<site>/<nodeId>/status (QoS1, retenido, LWT=offline)

– sismo/<site>/<nodeId>/cfg (QoS1, retenido)

ts_ms significa “timestamp en milisegundos desde época UNIX (UTC)”. En modo por bloques, **ts_ms** es el **instante de la primera muestra** del bloque. La separación temporal entre muestras del bloque se infiere con **fs_hz** o con **dt_us** opcional.

Payload propuesto (bloques crudos, sin filtrado):

```
{
  "ts_ms": 1730158805123,      // UTC de la PRIMERA muestra del bloque
  "fs_hz": 200,                // frecuencia de adquisición en el MCU
  "seq": 15231,                // contador de bloque (monótono, persiste entre resets)
  "n": 100,                    // muestras por canal en este bloque
  "ax": [ ... 100 valores ... ],
  "ay": [ ... 100 valores ... ],
  "az": [ ... 100 valores ... ],
  "gx": [ ... 100 valores ... ],
  "gy": [ ... 100 valores ... ],
  "gz": [ ... 100 valores ... ],
  "temp_c": 27.5,              // temperatura IMU durante el bloque (media)
  "vbat": 3.92                 // tensión de batería al cerrar el bloque
}
```

Justificación de parámetros:

- **ts_ms** y **fs_hz** permiten reconstruir el **tiempo exacto de cada muestra** en servidor.
- **seq** asegura **idempotencia** extremo a extremo junto al **UNIQUE(nodo_id, measured_at, seq)** en DB.
- **n** define tamaño del bloque para decodificación eficiente.
- **temp_c** habilita compensaciones térmicas en análisis.
- **vbat** permite correlacionar eventos con caída de tensión.

6.6 Código de referencia (ESP32 FreeRTOS; crudo → bloque → MQTT)

Intención: ISR mínima, adquisición I2C con calibración, publicación por bloques, sin filtros en MCU.

```
// ---- Parámetros clave ----
constexpr uint16_t FS_HZ = 200;           // adquisición cruda
constexpr uint16_t PUB_BLOCK_SAMPLES = 100; // tamaño de bloque (0.5 s)
constexpr uint32_t T_US = 1000000UL / FS_HZ; // periodo en microsegundos

struct Calib { float ax, ay, az, gx, gy, gz, t_ref; } gCal;
struct Sample { uint32_t t_us; float ax, ay, az, gx, gy, gz; float temp; };

static QueueHandle_t qTrig;
static hw_timer_t* timer0 = nullptr;

// --- ISR: solo notifica tiempo ---
void IRAM_ATTR onTimerISR() {
  BaseType_t hp = pdFALSE;
  uint32_t t = (uint32_t) esp_timer_get_time();
  xQueueSendFromISR(qTrig, &t, &hp);
  if (hp) portYIELD_FROM_ISR();
}
```

```

}

// --- Buffer de muestras crudas ---
static Sample rb[PUB_BLOCK_SAMPLES];
static volatile uint16_t rb_idx = 0;

// --- Tarea de adquisición: I2C + calibración ---
void taskAcquire(void*){
    for(;;){
        uint32_t t_us;
        if (xQueueReceive(qTrig, &t_us, portMAX_DELAY)) {
            int16_t ra[3], rg[3]; float temp;
            mpu6050_read_raw_burst(ra, rg, &temp);           // lectura atómica

            Sample s;
            s.t_us = t_us;
            s.ax = ra[0]*ACC_SCALE - gCal.ax;
            s.ay = ra[1]*ACC_SCALE - gCal.ay;
            s.az = ra[2]*ACC_SCALE - gCal.az;
            s.gx = rg[0]*GYR_SCALE - gCal.gx;
            s.gy = rg[1]*GYR_SCALE - gCal.gy;
            s.gz = rg[2]*GYR_SCALE - gCal.gz;
            s.temp = temp;

            rb[rb_idx++] = s;
            if (rb_idx >= PUB_BLOCK_SAMPLES) {
                rb_idx = 0;
                notify_block_ready();           // señal a publicador
            }
        }
    }
}

// --- Tarea de publicación: empaqueta y envía bloque ---
void taskPublish(void*){
    static uint32_t seq = load_seq_from_nvs();
    for(;;){
        if (block_ready()){
            // construir JSON (o CBOR) con ts_ms de la primera muestra:
            uint64_t ts_ms = to_unix_ms(rb[0].t_us); // NTP base + offset local
            JsonDoc doc;
            doc["ts_ms"] = ts_ms;
            doc["fs_hz"] = FS_HZ;
            doc["seq"] = seq++;
            doc["n"] = PUB_BLOCK_SAMPLES;
            append_arrays_from_rb(rb, PUB_BLOCK_SAMPLES, doc); // ax..gz, temp/vbat

            if (net_ok()) mqtt_publish_qos1("sismo/siteX/nodeY/data", doc);
            else spiffs_enqueue(doc);

            save_seq_to_nvs(seq);
        }
    }
}

```

```

    } else {
        vTaskDelay(pdMS_TO_TICKS(1));
    }
}

void setup(){
    // NTP (UTC), MQTT con LWT retenido, carga de calibración y seq
    load_calibration(&gCal);

    qTrig = xQueueCreate(64, sizeof(uint32_t));
    timer0 = timerBegin(0, 80, true);           // 80 MHz / 80 = 1 MHz
    timerAttachInterrupt(timer0, &onTimerISR, true);
    timerAlarmWrite(timer0, T_US, true);
    timerAlarmEnable(timer0);

    xTaskCreatePinnedToCore(taskAcquire, "acq", 4096, nullptr, 3, nullptr, 0);
    xTaskCreatePinnedToCore(taskPublish, "pub", 6144, nullptr, 2, nullptr, 1);
}

```

ESP8266 (sin FreeRTOS): sustituir `hw_timer_t` por **Timer1**, y `notify_block_ready()/block_ready()` por una **cola circular** en “loop cooperativo”. El resto del flujo se mantiene igual.

6.7 Deep-sleep y “reset virtual”

En ESP8266, `deepSleep(us)` despierta por **pulso de GPIO16 a RST**, equivalendo a un **reset por hardware**. El arranque debe: sincronizar NTP, reconectar MQTT publicando `status=deepsleep_wakeup`, restaurar seq, reconfigurar IMU y enviar/barrer cualquier bloque encolado en SPIFFS.

7 Cronograma y plan de la siguiente iteración

Objetivos verificables

- Crear un prototipo funcional de la placa de desarrollo v0.0.2 (SMD)
- Implementar cola local en firmware con reenvío y prueba de caída 10 min.
- Integrar TLS mutua en Mosquitto y validar ACLs por tópico.
- Completar dashboard con espectro en ventana móvil y alarmas.
- Ensayo de calibración de 2 nodos y reporte de error con incertidumbre.

8 Solicitudes al comité/directores (bloqueadores)

9 Bibliografía y Referencias